

Jej wysokość krzywa eliptyczna

Bartosz NASKRĘCKI*

* Wydział Matematyki i Informatyki,
Uniwersytet im. Adama Mickiewicza
w Poznaniu

95% ludzi tego nie rozwiąże!

Czy znajdziesz całkowite dodatnie wartości dla jabłka, banana oraz ananasa?



Rozwiązanie zadania F 1096.

Położenie równowagi odpowiada minimum potencjału. Obliczmy pochodną $U(x)$ względem x i przyrównajmy ją do zera, aby znaleźć współrzędną x_0 minimum. Mamy:

$$U'(x) = -\frac{2a}{x^3} + \frac{b}{x^2} \mapsto x_0 = \frac{2a}{b}.$$

Silę $F(x)$ działającą w punkcie x otrzymamy jako $F(x) = -U'(x)$. Obliczmy jej wartość w punkcie bliskim minimum: $x = x_0 + z$:

$$F(x_0 + z) = \frac{2a}{(x_0 + z)^3} - \frac{b}{(x_0 + z)^2} \approx \approx U'(x_0) - U''(x_0)z.$$

Ponieważ interesują nas małe drgania, więc dokonaliśmy rozwinięcia siły do wyrazów liniowych w z . Mamy $U'(x_0) = 0$, a zatem otrzymujemy przybliżone równanie ruchu w pobliżu punktu równowagi (x_0):

$$m \frac{d^2 z}{dt^2} = -\frac{b^4}{8a^3} z.$$

Jest to równanie oscylatora harmonicznego o okresie:

$$T = \frac{4\pi a}{b^2} \sqrt{2am}.$$

Jak usprawnić poszukiwanie rozwiązań? Warto skorzystać z obserwacji, że dla ustalonych x i y można szybko znaleźć przybliżone rozwiązanie (1) ze względu na z procedurami numerycznymi (lub korzystając ze wzoru na rozwiązania równań stopnia 3).

Internet jest pełen krzykliwych haseł mających przyciągnąć uwagę użytkownika. *Lekarze nie chcą, byś poznał cudowne własności tego wodorostu!, Ta prosta sztuczka pozwoli ci zarabiać miliony bez wychodzenia z łazienki!, Mężczyzna próbował podzielić przez zero, zobaczcie, co się stało dalej!* – to tylko wymyślone na poczekaniu przykłady, wcale nieodległe od pierwowzorów. Wśród tych fraz szczególne miejsce zajmują te rachunkowo-logiczne, rozpoczynające się od $K\%$ ludzi tego nie rozwiąże!, gdzie $K \in [90, 100)$. Przyjrzyjmy się jednemu z takich *clickbaitów*, przedstawionemu na marginesie – sprawdźmy, czy jako osoby o ścisłych inklinacjach znajdujemy się w chlubnych $(100 - K)\%$ populacji.

Dla Czytelników *Delt*y nie ma niestety żadnych jabłek, bananów i ananasów – są za to całkowite dodatnie liczby x, y, z , które mają spełniać równanie

$$(1) \quad \frac{x}{y+z} + \frac{y}{z+x} + \frac{z}{x+y} = 4.$$

Czy takie istnieją? Szukając *jakichkolwiek* rozwiązań, możemy zastanowić się najpierw, czy nie istnieją takie, które spełniają pewne upraszczające założenia. Gdy $x = y = z$, nasze równanie sprowadza się do postaci $\frac{3}{2} = 4$, zatem wtedy rozwiązań nie ma. Z kolei gdy przyjmiemy tylko $x = y$, to (1) sprowadza się do równania kwadratowego ze względu na z , którego rozwiązanie to $z = \frac{1}{2}(7 \pm \sqrt{65})x$. Oznacza to, że wtedy również brak rozwiązań całkowitych (liczby x i z nie mogą być jednocześnie całkowite). A czy któraś z tych liczb może być równa 0? Niestety nie – gdyby na przykład zachodziła równość $x = 0$, to (1) ponownie stałoby się równaniem kwadratowym z rozwiązaniem $z = (\pm 2 + \sqrt{3})y$, co również jest niemożliwe dla liczb całkowitych y, z . Podstawowe próby uproszczenia równania dodatkowymi założeniami spełzły zatem na niczym.

Bywa, że umysłowa ekwilibrystyka musi ustąpić brutalnej sile. Nietrudno napiszemy prosty skrypt, który przejrzy wszystkie trójki liczb całkowitych dodatnich od 1 do, powiedzmy, 100 i sprawdzi, czy spełniają one równość (1). Okazuje się, że taki program nie znajdzie żadnego rozwiązania w tym zakresie. Jeśli z ciekawości pozwolimy mu przeglądać liczby ujemne (o module nie większym niż 100), to z dokładnością do kolejności oraz skalowania dostaniemy dwa rozwiązania: $(-1, 4, 11)$, $(-5, 9, 11)$. Wspomniane skalowanie wiąże się z obserwacją, że jeśli (x, y, z) jest rozwiązaniem (1), to jest nim również (ax, ay, az) dla $a \neq 0$ – w naszych poszukiwaniach możemy zatem ograniczyć się do trójek, których największy wspólny dzielnik jest równy 1.

Problem z naszym podejściem polega na tym, że złożoność takiego prymitywnego programu (tzn. liczba trójek liczb do sprawdzenia) zwiększa się sześciennie wraz z wielkością zakresu. Przy odrobinie cierpliwości moglibyśmy zatem w ten sposób poszukać rozwiązań w przedziale od 1 do 1000, ale już przedział $[1, 10^4]$ pozostaje raczej poza możliwościami zwykłego laptopa. Przy odrobinie pomysłowości możemy jednak uzyskać z grubsza kwadratowy koszt przeszukiwań i w ten sposób przekonać się, że nie istnieją rozwiązania w tym przedziale. Cóż, jeśli tak proste równanie jak (1) nie ma rozwiązań całkowitych w tak szerokim zakresie, to *na pewno* nie ma ich w ogóle – a cała zagadka jest pomyłką albo złośliwym żartem.

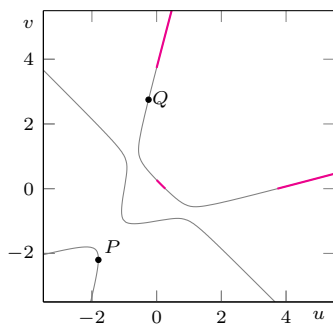
Okazuje się, że owszem mamy do czynienia ze złośliwym żartem, ale bardziej przewrotnym niżby mogło się nam wydawać – otóż wyjściowe równanie *istotnie ma rozwiązania* w liczbach całkowitych dodatnich, przy czym najmniejsze z nich jest postaci:

$$x = 4373612677928697257861252602371390152816537558161613618621437993378423467772036,$$

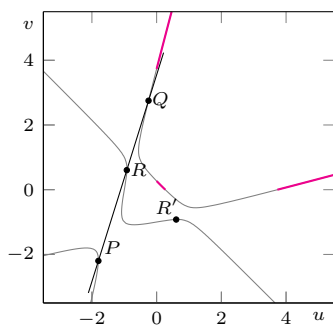
$$y = 154476802108746166441951315019919837485664325669565431700026634898253202035277999,$$

$$z = 36875131794129999827197811565225474825492979968971970996283137471637224634055579,$$

gdzie x ma aż 79 cyfr! Jak można odnaleźć tak ogromne rozwiązania i skąd wiadomo, że nie ma mniejszych? Temu zagadnieniu poświęcona będzie dalsza część artykułu.



Rys. 1. Krzywa C określona równaniem (2), wraz z zaznaczonymi punktami $P = (-9/5, -11/5)$ i $Q = (-1/4, 11/4)$. Ma ona trzy spójne składowe. Kolorem oznaczono zbiór punktów krzywej o obu współrzędnych dodatnich



Rys. 2



Rozwiązanie zadania M 1782.

Jeśli $ab = 0$ lub $a + b = 0$, teza zadania jest jasna. Załóżmy więc, że $ab \neq 0$ i $a + b \neq 0$. Z tożsamości

$$(a^5 - b^5)^2 - (a^7 - b^7)(a^3 - b^3) = a^3 b^3 (a^2 - b^2)^2$$

wynika, że $a^3 b^3 \in \mathbb{Q}$. Z kolei z równości

$$(a^7 - b^7)^2 - (a^{11} - b^{11})(a^3 - b^3) = a^3 b^3 (a^2 - b^2)^2 (a^2 + b^2)^2$$

wniosujemy, że

$$(a^2 - b^2)^2 + 4a^2 b^2 = (a^2 + b^2)^2 \in \mathbb{Q},$$

skąd $a^2 b^2 \in \mathbb{Q}$. Zatem $ab = \frac{a^3 b^3}{a^2 b^2} \in \mathbb{Q}$.

Ponieważ

$$(a^5 - b^5)(a^{11} - b^{11}) - (a^{13} - b^{13})(a^3 - b^3) = a^3 b^3 (a^2 - b^2)^2 (a^2 + b^2)(a^4 + b^4),$$

więc

$$(a^3 - b^3)^2 + 2a^3 b^3 + a^2 b^2 (a^2 + b^2) = (a^2 + b^2)(a^4 + b^4) \in \mathbb{Q},$$

więc $a^2 + b^2 \in \mathbb{Q}$. Finalnie

$$a - b = \frac{a^3 - b^3}{a^2 + ab + b^2} \quad \text{oraz} \quad a + b = \frac{a^2 - b^2}{a - b}$$

są wymierne, skąd a i b też są wymierne.

Uwaga: Można pokazać, że a i b są całkowite – pozostawiamy to jako ćwiczenie dla Czytelnika Wnikliwego.

Trójki różnych od zera liczb całkowitych (x, y, z) , których największy wspólny dzielnik jest równy 1, można jednoznacznie zakodować jako pary (u, v) , gdzie $u = x/z$ i $v = y/z$. Po takim zabiegu równanie (1) staje się równaniem dwóch zmiennych następującej postaci:

$$(2) \quad (u + v)^3 - 6uv(u + v) - 3(u + v)^2 - 3(u + v) + uv + 1 = 0.$$

Jest to równanie pewnej krzywej C stopnia 3, przedstawionej na rysunku 1. Zaznaczono na niej punkty $P = (-9/5, -11/5)$ i $Q = (-1/4, 11/4)$ odpowiadające rozwiązaniom $(-9, -11, 5)$ i $(-1, 11, 4)$ równania (1). Kolorem oznaczono te fragmenty krzywej C , które leżą w I ćwiartce. Jeśli znajdziemy na tym kolorowym fragmencie punkt o współrzędnych wymiernych – odtąd punkty takie będziemy nazywać wymiernymi – będzie on odpowiadał dodatniemu rozwiązaniu (1). Tylko jak takich punktów szukać? Z pomocą przyjdzie nam... geometria! Okazuje się bowiem, że

- (♥) jeśli prosta o nachyleniu różnym od -1 przecina krzywą C w dwóch różnych punktach wymiernych P i Q , to przecina ją jeszcze w dokładnie jednym punkcie wymiernym R .

Dowód tego faktu wynika z zastosowania wzorów Viëta po wstawieniu do (2) liniowej zależności $v = \alpha u + \beta$. Szczegóły uzasadnienia zamieszczone są na końcu artykułu – jest tam również przedstawiony jawny wzór pozwalający wyznaczyć współrzędne punktu R w zależności od współrzędnych P i Q .

Dla przykładu, jeśli na rysunku 1 poprowadzimy prostą przez punkty P i Q , to przetnie ona krzywą C w jeszcze jednym punkcie R o współrzędnych $(-9071/9841, 5951/9841)$. Daje nam to kolejne całkowite rozwiązanie (1) ($x = -9071, y = 5951$ i $z = 9841$), które jednak wciąż nie jest dodatnie.

Na pierwszy rzut oka na tym kończy się nasza przygoda z generowaniem nowych punktów – każda prosta ma co najwyżej trzy punkty przecięcia z krzywą C . Z pomocą przychodzi nam operacja wręcz trywialna – zamiana współrzędnych miejscami! Jeśli (u, v) spełnia równanie (2), to (v, u) również je spełnia. Jeśli zatem punkt R leży na C , to symetryczny do niego względem prostej $u = v$ punkt R' również – i, rzecz jasna, on też ma współrzędne wymierne (rys. 2). Te dwie operacje: branie trzeciego punktu przecięcia z C oraz zamiana współrzędnych miejscami, pozwalają nam wygenerować dowolnie wiele punktów wymiernych. Pozostaje nam mieć nadzieję, że w końcu trafimy w ten sposób na punkt o współczynnikach dodatnich.

Przeprowadźmy poszukiwania w sposób systematyczny. Dla ułatwienia notacji wyżej przedstawioną konstrukcję punktu R' z punktów P i Q oznaczmy jako $m(P, Q)$. Z powodów, które staną się zrozumiałe później, wprowadźmy leżący na krzywej C punkt $T = (-1, 1)$ i przyjmijmy oznaczenia $P_1 = m(T, P)$ oraz $P_{n+1} = m(P_n, P)$. Zgodnie z wcześniejszymi obserwacjami wszystkie punkty P_n leżą na krzywej C . Możemy kolejno obliczać ich współrzędne (raczej przy pomocy komputera), aż w końcu... Udało się! Punkt P_9 ma obie współrzędne dodatnie, a więc wyznacza nam pewne dodatnie rozwiązanie naszego oryginalnego problemu (1). Jest to dokładnie to gigantyczne rozwiązanie, które przedstawiliśmy wcześniej – jak widać, potrzeba sporo jabłek...

Zaskakujące jest to, że każda z liczb x, y, z tego rozwiązania ma około 80 cyfr. Z pewnością takiego rozwiązania nie znaleźlibyśmy ręcznie. Pozostają więc pytania:

- (A) Czy można znaleźć mniejsze (w sensie maksimum) rozwiązanie?
 (B) Czy wykorzystana operacja $m(P, Q)$ ma jakiś głębszy sens?
 (C) Czy i kiedy znajdziemy „małe” rozwiązanie początkowe w ogólnej sytuacji?

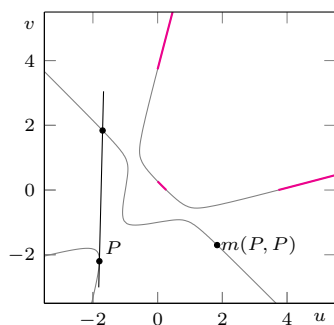
W dalszej części spróbujemy – na tyle, na ile jest to możliwe – uzasadnić negatywną odpowiedź na pytanie (A). Wykorzystamy do tego strukturę grupy związaną z odpowiedzią na pytanie (B) i zakończymy bardzo trudnymi pytaniami matematycznymi, które wiążą się z odpowiedzią (wciąż niepełną!) na pytanie (C).

Przyjrzyjmy się uważniej operacji $m(P, Q)$. Wiemy już, że nie wyprowadza ona poza zbiór punktów C o wymiernych współrzędnych. Jest też w oczywisty

sposób symetryczna, tzn. $m(P, Q) = m(Q, P)$. Okazuje się, że ma jeszcze inną przydatną, choć niełatwą w uzasadnieniu własność: dla dowolnych punktów P, Q, R na C zachodzi:

$$m(m(P, Q), R) = m(P, m(Q, R)).$$

Niektórzy Czytelnicy zapewne spróbują udowodnić tę równość za pomocą jawnych rachunków algebraicznych. Powodzenia!



Rys. 3. Konstrukcja punktu $m(P, P)$

Krzywe eliptyczne w matematyce pojawiły się już w starożytności. Mają też związek z obliczaniem pewnych całek, ale to już odrębna historia...

W fachowej terminologii oznacza to, że jest to operacja *łączna*, i dzięki wcześniejszej symetrii możemy o niej myśleć jak o zwykłym działaniu, takim jak na przykład dodawanie. Przeszkadzać może odrobinę, że operacja $m(P, Q)$ zdefiniowana była dla *różnych* punktów P i Q (by można było poprowadzić przez nie prostą). Chcąc zdefiniować $m(P, P)$, możemy jednak pomyśleć o granicy $m(P, R_n)$, gdzie R_n jest ciągiem punktów na C zbiegających do P . Wówczas w pierwszym kroku operacji m zamiast prostej przechodzącej przez dwa punkty bierzemy styczną do C w punkcie P (rys. 3). Inna trudność pojawia się, gdy chcemy wykonać operację $m(P, Q)$ na dwóch punktach symetrycznych względem prostej $y = x$. Z dowodu stwierdzenia (♥), zamieszczonego na końcu artykułu, wynika, że nie istnieje wtedy trzeci punkt przecięcia prostej PQ z krzywą C . Jeśli powiemy, że wówczas wynikiem zawsze ma być pewien abstrakcyjny punkt \mathcal{O} , o który wzbogacamy krzywą C (można o nim myśleć jako o punkcie definiującym kierunek $(-1, 1)$), to już nic nie stoi na przeszkodzie, aby myśleć o m jako o porządnym „dodawaniu” punktów na krzywej C – od tej pory przyjmujemy zatem oznaczenie $P + Q := m(P, Q)$. Pozwala nam to też mnożyć punkty przez liczby całkowite: dla $n \in \mathbb{N}$ punkt nP to efekt n -krotnego dodania do siebie punktu P , zaś $-nP$ to odbicie symetryczne nP względem prostej $u = v$. Zdefiniowane w ten sposób działanie dodawania punktów krzywej trzeciego stopnia daje w rezultacie strukturę *grupy* nazywaną *krzywą eliptyczną*.

Wspominaliśmy już, że rozwiązania równania (1) można ograniczyć do trójek liczb (x, y, z) , których największy wspólny dzielnik jest równy 1. Warto tu zaznaczyć, że wówczas liczby x, y, z są parami względnie pierwsze. Istotnie, równanie (1) można sprowadzić do postaci

$$x^3 + y^3 + z^3 - 3x^2y - 3x^2z - 3xy^2 - 3xz^2 - 3y^2z - 3yz^2 - 5xyz = 0,$$

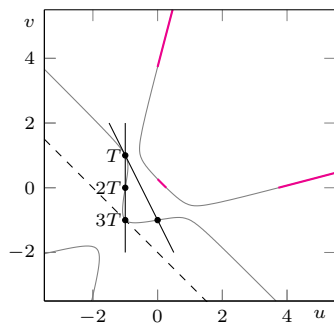
z której wynika, że każdy wspólny dzielnik pierwszy dowolnych dwóch spośród liczb x, y, z dzieli też trzecią z tych liczb, więc również największy wspólny dzielnik całej trójki – czyli 1. Ta obserwacja oznacza również, że jeśli współrzędne dowolnego wymiernego punktu (u, v) krzywej C przedstawimy w postaci nieskracalnej, to będzie to postać $(x/z, y/z)$, tłumacząca się bezpośrednio na rozwiązanie (x, y, z) równania (1).

Wprowadzimy teraz pewną ciekawą funkcję, nazywaną *wysokością*. Dla wymiernego punktu $P = (u, v)$ definiujemy $h(P) = \log_{10}(\max\{|a|, |b|\})$, gdzie $\frac{a}{b}$ jest nieskracalną postacią $u + v$. Na przykład dla $P = (-9/5, -11/5)$ otrzymujemy zatem $h(P) = \log_{10} 4$. Zauważmy, że jeśli $P = (x/z, y/z)$ ma współrzędne dodatnie, to $h(P) \leq \log_{10}(\max\{x + y, z\})$, zatem $h(P) \leq \log_{10}(2 \max\{x, y, z\})$. Z dokładnością do $\log_{10}(2) \approx 0,3$ funkcja h ogranicza więc z dołu liczbę cyfr największej spośród liczb x, y, z – może być zatem użyteczna dla badania fenomenu ogromnego rozwiązania równania (1).

Zachodzi następujące ciekawe twierdzenie: dla każdego punktu P wymiernego na krzywej C istnieje granica ciągu $(\frac{h(2^n P)}{4^n})$. Oznaczamy tę granicę przez $\hat{h}(P)$ i nazywamy *wysokością kanoniczną*. Jak zostało udowodnione przez André Nérona i Johna Tate'a (na dwa różne sposoby!):

- $\hat{h}(nP) = n^2 \hat{h}(P)$ (tzn. $\hat{h}(P)$ jest formą kwadratową);
- $\hat{h}(P + Q) + \hat{h}(P - Q) = 2\hat{h}(P) + 2\hat{h}(Q)$ dla dowolnych punktów P, Q (tzw. *prawo równoległoboku*);
- istnieje stała $\kappa > 0$ taka, że $|h(P) - \hat{h}(P)| < \kappa$ niezależnie od wyboru punktu P .

Uzbrojeni w takie nowe narzędzia możemy teraz bez trudu wyjaśnić, dlaczego skonstruowany wcześniej punkt $P_9 = 9P + T$ tłumaczył się na tak monstrialnej wielkości rozwiązanie równania (1). Można sprawdzić, że $3T = (-1, -1)$ (rys. 4) oraz $2(-1, -1) = \mathcal{O}$, zatem $6T = \mathcal{O}$ i dlatego zgodnie z własnością (a) zachodzi



Rys. 4. Ilustracja równości $6T = \mathcal{O}$

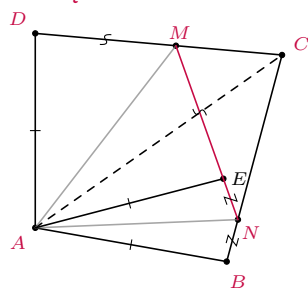


Rozwiązanie zadania F 1095.

Para wodna z dobrym przybliżeniem spełnia równanie gazu doskonałego. Cząsteczkę pary wodnej tworzą trzy (niewspółliniowe) atomy, a więc molowe ciepło właściwe pary ogrzewanej w stałej objętości $c_V = \frac{5}{2}R = 3R$. Masa molowa wody $\mu_w = 2\mu_H + \mu_O = 18$ g. Ciepło potrzebne do ogrzania 54 g pary od $t_1 = 100^\circ\text{C}$ do $t_2 = 200^\circ\text{C}$ wynosi więc $Q = mc_V(T_2 - t_1)/\mu_w$; liczbowo: $Q = 7,483 \cdot 10^3$ J.



Rozwiązanie zadania M 1780.



Zaznaczmy na odcinku MN taki punkt E , że $EM = MD$. Wtedy $BN = NE$. Wykorzystując równoramienność trójkątów EDM i EBN oraz równość $\sphericalangle ABC + \sphericalangle CDA = 180^\circ = \sphericalangle MEN$, dostajemy

$$\sphericalangle ABE + \sphericalangle ADE = \sphericalangle AEB + \sphericalangle AED.$$

Gdyby $\sphericalangle ABE > \sphericalangle AEB$, to $\sphericalangle ADE < \sphericalangle AED$, skąd $AB < AE < AD$, sprzeczność. Podobnie nie może zachodzić nierówność $\sphericalangle ABE < \sphericalangle AEB$. Zatem $AB = AE = AD$, więc pary trójkątów ABN i AEN oraz AEM i ADM są przystające. Wobec tego

$$\begin{aligned} \sphericalangle ANM + \sphericalangle CAM &= \sphericalangle ANB + \sphericalangle CAM = \\ &= 180^\circ - \sphericalangle BAN - \sphericalangle ABN + \sphericalangle CAM = \\ &= 180^\circ - \sphericalangle BAN - \sphericalangle ABD - \sphericalangle MAD = \\ &= 180^\circ - \frac{1}{2}\sphericalangle BAD - \sphericalangle ABD = 90^\circ, \end{aligned}$$

co łatwo daje tezę zadania.

[*] Andrew Bremner i Allan Macleod, *An unusual cubic representation problem*, *Annales Mathematicae et Informaticae*, 2014.

Uzasadnienie stwierdzenia (♥). Zastanówmy się, ile punktów wspólnych może mieć krzywa C z prostą. Taka prosta może mieć równanie postaci $v = \alpha u + \beta$ dla $\alpha, \beta \in \mathbb{R}$. Wstawiając tę zależność do (2), dostaniemy wielomian zmiennej u , którego początkowe wyrazy wyglądają następująco:

$$(3) \quad W_{\alpha, \beta}(u) = (\alpha^3 - 3\alpha^2 - 3\alpha + 1)u^3 + (3\alpha^2\beta - 3\alpha^2 - 6\alpha\beta - 5\alpha - 3\beta - 3)u^2 + (\dots).$$

Jest to wielomian 3 stopnia, który może mieć co najwyżej 3 pierwiastki – oznacza to, że punkty przecięcia są również co najwyżej trzy. Ponadto z podstawowej teorii dotyczącej wielomianów (twierdzenie Bézouta) wynika, że jeśli istnieją dwa różne pierwiastki, to istnieje też trzeci – o ile tylko $\alpha \neq -1$, gdyż wówczas (2) degeneruje się do wielomianu stopnia 2. Zatem jeśli prosta przechodząca przez punkty P i Q leżące na C ma nachylenie różne od -1 , to przecina krzywą C w jeszcze jednym punkcie R .

$\hat{h}(T) = \frac{1}{36}\hat{h}(\mathcal{O}) = 0$. Z prawa równoległoboku wynika zatem, że dla dowolnego punktu S oraz $i \in \mathbb{N}$ zachodzi:

$$\hat{h}(S + (i+1)T) + \hat{h}(S + (i-1)T) = 2\hat{h}(S + iT).$$

Oznacza to, że ciąg $(\hat{h}(S + iT))_i$ jest ciągiem arytmetycznym. Z drugiej strony $S + 6T = S$, zatem jest to jednocześnie ciąg okresowy, więc musi być ciągiem stałym. Wstawiając $S = 9P$, dostajemy $\hat{h}(9P + T) = \hat{h}(9P)$, i ponownie własność (a) implikuje $\hat{h}(9P) = 81\hat{h}(P)$. Zgodnie z (c) możemy zatem zapisać $h(9P + T) \approx 81h(P)$ (Błąd przybliżenia κ nie zależy od wyboru punktu, a jedynie od samego równania krzywej C !) Można to zinterpretować w taki sposób, że liczba cyfr największej liczby w nieskracalnym zapisie $9P + T$ wzrosła około 81 razy w stosunku do analogicznej liczby cyfr dla punktu P . Zauważmy, że ta jakościowa analiza bardzo dobrze odpowiada uzyskanym przez nas dokładnym wynikom.

Ale skąd wiemy, że punkt $9P + T$ jest najmniejszy w sensie liczby cyfr, który dopuszcza dodatnie rozwiązania? Odpowiedź kryje się w twierdzeniu udowodnionym przez Luisa Mordella w 1922 roku. Aby sformułować je w pełnym brzmieniu, zdefiniujmy *rząd* punktu S jako najmniejszą liczbę naturalną n taką, że $nS = \mathcal{O}$ (jeśli takiej liczby nie ma, przyjmujemy rząd równy ∞). Twierdzenie Mordella głosi, że na krzywej eliptycznej istnieje skończony zbiór punktów T_1, \dots, T_k (skończonego rzędu) oraz P_1, \dots, P_r (rzędu nieskończonego) taki, że każdy punkt wymierny zapisuje się jako suma $\sum_i a_i P_i + \sum_k b_k T_k$, gdzie a_i, b_k są liczbami całkowitymi. Dla każdego punktu liczby te są wyznaczone jednoznacznie. Liczbę r nazywamy wówczas *rangą* krzywej eliptycznej C , a punkty P_i i T_k jej *generatorami*.

W przypadku naszej krzywej C dodatkowe rachunki algebraiczne (zdecydowanie wykraczające poza ramy tego artykułu) pozwalają udowodnić, że każdy punkt wymierny jest postaci $kP + lT$. Zatem każdy punkt wymierny na naszej krzywej ma wysokość kanoniczną równą $\hat{h}(kP + lT) = k^2\hat{h}(P)$, odpowiadającą w przybliżeniu „zwykłej” wysokości. Pozostaje więc tylko upewnić się, że wszystkie punkty $kP + lT$ dla $-9 < k < 9$ oraz $0 \leq l \leq 5$ nie mają obu współrzędnych dodatnich (ograniczenie na l wynika z faktu, że $6T = \mathcal{O}$).

W ten sposób nasze rozważania prowadzą do jednego z najsłynniejszych problemów w matematyce, czyli hipotezy Bircha–Swinnertona–Dyera. Postuluje ona istnienie efektywnego algorytmu wyznaczającego generatory punktów na krzywej eliptycznej. Dodatkowo hipoteza ta – jeśli jest prawdziwa – pozwala opisać związek między wysokościami punktów generujących i arytmetyką samej krzywej eliptycznej. Przy założeniu, że ranga krzywej eliptycznej wynosi 0 lub 1, hipoteza BSD została udowodniona dla nieskończenie wielu krzywych eliptycznych.

Na koniec polecamy Czytelnikom interesujące eksperymenty. Możemy poszukiwać „prostego” (minimalnego w sensie wysokości) rozwiązania równania (1), w którym liczba 4 została zastąpiona inną liczbą wymierną. Są częściowe wyniki na ten temat, więcej informacji można znaleźć w artykule [*]. Okazuje się, że generatory krzywej eliptycznej mogą być naprawdę ogromne!

Zastanówmy się, jak mając współrzędne punktów $P = (u_P, v_P)$ i $Q = (u_Q, v_Q)$, można wyznaczyć współrzędne (u_R, v_R) punktu R . Prosta przechodząca przez punkty P i Q ma równanie

$$v = \alpha' u + \beta',$$

gdzie $\alpha' = \frac{v_P - v_Q}{u_P - u_Q}$ oraz $\beta' = v_P - \alpha' u_P$. Liczby u_P, u_Q, u_R są zatem pierwiastkami równania $W_{\alpha', \beta'}(u) = 0$. Zgodnie ze wzorami Viëta ich suma jest równa $-\frac{a_2}{a_3}$, gdzie a_i to współczynnik stojący przy u^i w wielomianie $W_{\alpha', \beta'}$. Oba te współczynniki przedstawiliśmy w (3), co daje nam wzór jawny (choć bardzo skomplikowany) na u_R :

$$u_R = -\frac{3\alpha'^2\beta' - 3\alpha'^2 - 6\alpha'\beta' - 5\alpha' - 3\beta' - 3}{\alpha'^3 - 3\alpha'^2 - 3\alpha' + 1} - u_P - u_Q$$

i dalej $v_R = \alpha' u_R + \beta'$. Z powyższego wzoru wynika, że jeśli liczby u_P, v_P, u_Q, v_Q są wymierne, to liczby u_R, v_R również.